



反発脱離における並進運動と回転運動のモード結合

T. Matsushima.

Mode Coupling between Translation and Rotation in Repulsive Desorption

Vol. 23, Iss. 3, pp. 213-221 (2025) (Review Paper)

SiC-炭素複合材料の電磁波吸収特性

J. Ishii, T. Kawada, S. Mizokami, T. Matsushima, T. Ikari, M. Naitoh

Electromagnetic Wave Absorption Properties of SiC-Carbon Composites

Vol. 23, Iss. 3, pp. 222-226 (2025) (Regular Paper)

コアシェル構造を持つ多孔質シリカー芳香族ポリアミド複合粒子の一液階合成と特性評価

Y. Yoshioka

Single-step Synthesis and Characterization of Core-shell Porous Silica-aromatic Polyamide Composite Particles

Vol. 23, Iss. 3, pp. 227-233 (2025) (Regular Paper)

アルカリ金属の質量マーカーにより校正された金属キレート錯体のアトムプローブ解析

K. Yoshikawa, Y. Sato, M. Taniguchi
Atom Probe Analysis of Metal Chelate Complexes Calibrated by Alkali Metal Mass Markers

Vol. 23, Iss. 3, pp. 234-244 (2025) (Regular Paper)

透過型電子顕微鏡を用いたセリンプロテアーゼとε-ポリ-L-リジンによるウイルス不活化効果の観察

M. Hinatsu, K. Hayashi, N. Yokota, T. Nakano, T. Kawahara

Observation of Virus Inactivation Effects by Serine Proteases and ε-Poly-L-lysine Using Transmission Electron Microscopy

Vol. 23, Iss. 3, pp. 245-255 (2025) (Regular Paper)

大豆由来脂質二分子膜におけるイオン誘起ドメイン形成

J. Bando, R. Tero

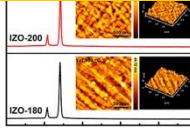
Ion-induced Domain Formation in a Bilayer Membrane of Soybean-derived Lipids

Vol. 23, Iss. 3, pp. 256-261 (2025) (Regular Paper)

VO₂/TiO₂(110)薄膜における個々の異方性ナノドメインの金属-絶縁体転移の実空間観察K. Kim, L. Hou, M. Abe, T. Kumagai
Real-space Observation of Metal-Insulator Transition of Individual Anisotropic Nanodomain in VO₂/TiO₂(110) Thin Films

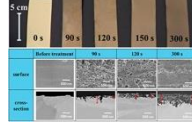
Vol. 23, Iss. 3, pp. 262-269 (2025) (Regular Paper)

基板温度の制御によるインジウムドープZnO薄膜の光学的・電子的特性の向上

T. K. H. Pham, H. D. Ngo, H. P. Pham
Enhancing Optical and Electronic Properties of Indium-doped ZnO Thin Films through Substrate Temperature Control

Vol. 23, Iss. 3, pp. 270-275 (2025) (Regular Paper)

銅合金における酸化膜の成長と色調の関係

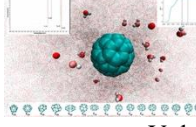


N. Kobayashi, H. Mikado, T. Fukushima, Y. Yoshimura, K. Kita

Relationship between Oxide Film Growth and Color Tone in Copper Alloys

Vol. 23, Iss. 3, pp. 276-280 (2025) (Regular Paper)

水溶液中におけるフラーレン球の特性：計算機シミュレーション研究

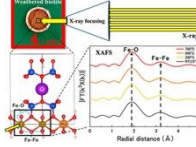


L. V. Phuc, N. D. Quan, L. H. T. Tung, N. D. Q. Tram, T. T. T. Hanh

Properties of Fullerene Spheres in Aqueous Solution: A Computational Simulation Study

Vol. 23, Iss. 3, pp. 281-289 (2025) (Regular Paper)

高温下における風化黒雲母の構造変化を解明するためのXAFS分析法の開発

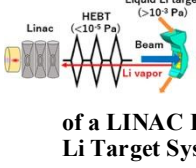


K. Hayakawa, M. Muraguchi, Y. Masebo, Y. Kojima, M. Oda, R. Yabuta, H. Ishii, M. Honda

Development of XAFS Analysis to Elucidate the Structural Change of Weathered Biotite under High Temperature

Vol. 23, Iss. 3, pp. 290-295 (2025) (Regular Paper)

自由表面液体リチウム標的システムを持つLINACベース中性子源の設計に向けた液体リチウムの流れの実証と真空特性の研究

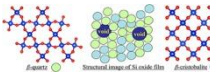


T. Ebisawa, S. Sato, M. Oyaizu, N. Hayashizaki, S. Ikeda

Liquid Lithium Flow Demonstration and Vacuum Characteristics Study for Design of a LINAC Based Neutron Source with Free Surface Liquid Li Target System

Vol. 23, Iss. 3, pp. 296-305 (2025) (Regular Paper)

中密度効果の理論的研究に基づくSi酸化膜中のSi輸送経路に関する原子スケール洞察

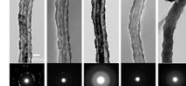


H. Kageshima, T. Akiyama, K. Shiraishi

Atomic Scale Insights into Si Transport Pathway in Si-oxide Film Based on Theoretical Investigation of Medium Density Effects

Vol. 23, Iss. 3, pp. 306-313 (2025) (Regular Paper)

イオン照射誘起による多結晶二重厚壁シリコンカーバイドナノチューブの微細構造発達



T. Taguchi, S. Yamamoto

Ion Irradiation Induced Microstructural Development of Polycrystalline Double-thick-walled Silicon Carbide Nanotubes

Vol. 23, Iss. 3, pp. 314-322 (2025) (Proceeding Paper)